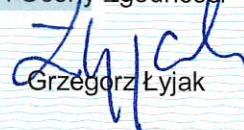


**ZAKRES UZNANIA
LABORATORIUM BADAWCZEGO
NR 7 032 2012 L**

Wydanie nr 3 z dnia 2023-01-31

| | |
|--|--|
| Nazwa i adres organizacji macierzystej | TECHNIC CONTROL Sp. z o. o. Laboratorium Badań Nieniszczących ul. Andrzeja Antosiewicza 1 71-642 Szczecin |
| Nazwa i adres laboratorium | TECHNIC CONTROL Sp. z o. o. Laboratorium Badań Nieniszczących ul. Andrzeja Antosiewicza 1 71-642 Szczecin |
| Kierownik laboratorium | Maciej Zakrzewski |
| Dziedzina badań | Badania nieniszczące wyrobów i materiałów konstrukcyjnych w tym metali |

Kierownik
Wydziału Certyfikacji
i Oceny Zdorności


Grzegorz Łyjak

TRANSPORTOWY DOZÓR TECHNICZNY

**TECHNIC CONTROL Sp. z o. o.
Laboratorium Badań Nieniszczących
ul. Andrzeja Antosiewicza 1
71-642 Szczecin**

| Badane objekty | Badane cechy i metody badawcze | Normy i/lub udokumentowane procedury badawcze |
|---|--|---|
| Stale | Skład chemiczny, analiza ilościowa (zawartość % wag.) - Si (0,02 ÷ 0,40) - P (0,01 ÷ 0,02) - S (0,008 ÷ 0,02) - Cr (0,16 ÷ 20,0) - Mn (0,07 ÷ 1,0) - Ni (0,02 ÷ 12,0) - Cu (0,08 ÷ 0,50) - Mo (0,01 ÷ 10,5) - V (0,005 ÷ 0,24) Metoda fluorescencyjnej spektrometrii rentgenowskiej z dyspersją fali (WD-XRF) | PB-08, edycja 3: 18.07.2022 |
| Stopy miedzi | Skład chemiczny, analiza ilościowa (zawartość % wag.) - Al. (6,0 ÷ 11,0) - Si (0,02 ÷ 1,9) - Cr (0,01 ÷ 0,02) - Mn (0,01 ÷ 0,08) - Fe (0,04 ÷ 4,0) - Co (0,01 ÷ 0,25) - Ni (0,02 ÷ 4,4) - Zn (0,05 ÷ 0,18) Metoda fluorescencyjnej spektrometrii rentgenowskiej z dyspersją fali (WD-XRF) | PB-08, edycja 3: 18.07.2022 |
| Stopy aluminium | Skład chemiczny, analiza ilościowa (zawartość % wag.) - Al. (70,0 ÷ 98,0) - Mg (0,03 ÷ 2,61) - Si (0,08 ÷ 8,89) - Ti (0,01 ÷ 0,12) - V (0,01 ÷ 0,012) - Cr (0,001 ÷ 0,25) - Mn (0,016 ÷ 0,77) - Ni (0,003 ÷ 0,3) - Fe (0,16 ÷ 0,9) - Ni (0,003 ÷ 0,3) - Cu (0,06 ÷ 4,5) - Zn (0,05 ÷ 6,2) - Zr (0,001 ÷ 0,12) Metoda fluorescencyjnej spektrometrii rentgenowskiej z dyspersją fali (WD-XRF) | PB-08, edycja 3: 18.07.2022 |
| Materiały i wyroby metalowe, w tym złącza spawane | Nieciągłości powierzchniowe i niedoskonałości kształtu Metoda wizualna | PN-EN 13018:2016-04 PN-EN ISO 17637:2017-02 |
| Złącza spawane | Nieciągłości powierzchniowe i podpowierzchniowe Metoda magnetyczno-proszkowa | PN-EN ISO 9934-1:2017-02 PN-EN ISO 17638:2017-01 |
| Złącza spawane | Nieciągłości powierzchniowe i podpowierzchniowe Metoda penetracyjna | PN-EN ISO 3452-1:2021-12 |

Uwaga: Jeśli którakolwiek z powyższych pozycji wymaga więcej miejsca, prosimy dołączyć dodatkowy arkusz z odniesieniem do właściwego numeru pozycji.

TRANSPORTOWY DOZÓR TECHNICZNY

| | | |
|---|--|--|
| Złącza spawane i wyroby metalowe | Nieszczelność Metoda pęcherzykowa | PN-EN 1593:2004 |
| Złącza spawane w zakresie grubości od 8 mm | Nieciągłości Metoda ultradźwiękowa | PN-EN ISO 13588:2019-04 PN-EN ISO 10863:2020-12 PN-EN ISO 17640:2019-01 PN-EN ISO 22825:2017-12 |
| Złącza spawane o grubości do 60 mm | Nieciągłości Metoda radiograficzna | PN-EN ISO 17636-1: 2013-06 PN-EN ISO 17636-2: 2013-06 |
| Materiały metalowe o grubości do 60 mm | Nieciągłości Metoda radiograficzna | PN-EN ISO 5579:2014-02 PN-EN ISO 16371-2:2018-01 |
| Odlewy | Nieciągłości powierzchniowe Metoda penetracyjna | PN-EN 1371-1:2012 |
| Odlewy | Nieciągłości powierzchniowe i podpowierzchniowe Metoda magnetyczno-proszkowa | PN-EN 1369:2013-04 |
| Odlewy | Nieciągłości Metoda ultradźwiękowa | PN-EN 12680-1:2005 PN-EN 12680-2:2005 |
| Odkuwki | Nieciągłości powierzchniowe i podpowierzchniowe Metoda magnetyczno-proszkowa | PN-EN 10228-1:2016-07 |
| Odkuwki | Nieciągłości powierzchniowe Metoda penetracyjna | PN-EN 10228-2:2016-07 |
| Odkuwki | Nieciągłości Metoda ultradźwiękowa | PN-EN 10228-3:2016-07 PN-EN 10228-4:2016-07 |
| Wyroby hutnicze o grubości od 6 mm | Nieciągłości Metoda ultradźwiękowa | PN-EN 10160:2001 |
| Konstrukcje stalowe o grubości od 2 mm | Grubość Metoda ultradźwiękowa | PN-EN ISO 16809:2019-08 |
| Rury stalowe | Nieciągłości powierzchniowe i podpowierzchniowe Metoda magnetyczno-proszkowa | PN-EN ISO 10893-5:2011 |
| Spoiny austenityczne w zakresie do 90% Fe | Zawartość ferrytu Metoda indukcji magnetycznej | PB-07, edycja 3: 18.07.2022 |

Uwaga: Jeśli którakolwiek z powyższych pozycji wymaga więcej miejsca, prosimy dołączyć dodatkowy arkusz z odniesieniem do właściwego numeru pozycji.

TDDT